

Nicolas PERRIN

Introduction

Dans cet article, nous répondons à une question de Dimitri Markushevich concernant l'irréductibilité du schéma des courbes elliptiques sur la variété spinorielle de dimension 10.

Soit G le groupe $SO(10)$ et P le parabolique maximal associé à la racine simple α_5 avec les notations de [Bo]. La variété homogène G/P correspond à la grassmannienne des sous-espaces totalement isotropes maximaux (ici de dimension 5) de type 1 dans un espace vectoriel de dimension 10 muni d'une forme quadratique non dégénérée. Elle est lisse de dimension 10, nous la noterons X . Nous montrons le résultat suivant :

THÉORÈME 0.1. — *Soit C une courbe elliptique lisse et soit $\alpha \in A_1(X)$ une classe de 1-cycles sur X de degré d . Si $d \geq 4$, alors le schéma $\mathbf{Hom}_\alpha(C, X)$ des morphismes de C vers X de classe α est irréductible de dimension $8d$.*

Pour montrer ce résultat, nous utilisons la résolution de Bott-Samelson $\pi : \tilde{X}_{W_\bullet} \rightarrow X$ associée à un drapeau complet W_\bullet (cf. paragraphe 1). Contrairement au cas des courbes rationnelles que nous avons traité dans [P1] ou [P2], nous avons besoin d'imposer des conditions (*) (cf. paragraphe 2.1) sur les classes $\tilde{\alpha} \in A_1(\tilde{X})$ telles que $\pi_*(\tilde{\alpha}) = \alpha$ pour obtenir l'irréductibilité du schéma $\mathbf{Hom}_{\tilde{\alpha}}(C, \tilde{X}_{W_\bullet})$. Nous montrons (propositions 4.1 et 4.4) que pour (essentiellement) tout morphisme $f \in \mathbf{Hom}_\alpha(C, X)$, il existe un drapeau complet W_\bullet tel que f se relève dans \tilde{X}_{W_\bullet} en un morphisme \tilde{f} satisfaisant les conditions (*). On conclue alors à l'irréductibilité en faisant varier W_\bullet .

REMARQUE 0.2. — (i) *Pour les morphismes de degré 2 et 3 on montre facilement que les variétés sont irréductibles de dimensions respectives 19 et 25.*

(ii) *La technique présentée ici doit pouvoir se généraliser aux variétés homogènes minuscules. C'est ce que nous faisons dans [P3] pour les groupes classiques.*

1 Résolution de Bott-Samelson

Nous reprendrons la plupart des notations de [P2]. Soit W le groupe de Weyl de G et W_P le sous-groupe de W stabilisant P . On note w_0 l'élément de longueur maximal dans W et \bar{w}_0 sa classe dans W/W_P . On a une écriture réduite de w_0 et même de \bar{w}_0 :

$$\bar{w}_0 = \bar{s}_4 \bar{s}_3 \bar{s}_2 \bar{s}_5 \bar{s}_1 \bar{s}_3 \bar{s}_2 \bar{s}_4 \bar{s}_3 \bar{s}_5 \quad (*)$$

où \bar{s}_i est la classe dans W/W_P de la symétrie par rapport à la racine simple α_i (toujours avec les notations de [Bo]).

Une fois cette décomposition fixée, à tout drapeau complet W_\bullet , on peut associer (cf. [De]) une variété de Bott-Samelson \tilde{X}_{W_\bullet} . Cette variété peut être décrite comme une suite de fibrations

$$\tilde{X}_{W_\bullet} = X_{10} \xrightarrow{f_{10}} \cdots \xrightarrow{f_2} X_1 \xrightarrow{f_1} X_0 \simeq \text{Spec}(k).$$

où les f_i sont des fibrations en droites projectives. Chacune de ces fibrations f_i est munie d'une section σ_i et on note ξ_i le diviseur de X_i donné par $\sigma_i(X_{i-1})$. Par abus de notations, nous noterons encore ξ_i l'image réciproque de ce diviseur dans \tilde{X}_{W_\bullet} . Nous noterons T_i le fibré tangent relatif de la fibration f_i et p_i le morphisme de \tilde{X}_{W_\bullet} vers X_i .

2 Fibrations

2.1 Irréductibilité

Nous montrons une proposition qui permet de remonter l'irréductibilité du schéma des morphismes à travers les fibrations en droites projectives. Cependant, contrairement au cas des courbes rationnelles (cf. [P1] prop. 4), la seule condition d'avoir un degré relatif positif ne suffit plus. Soit C une courbe elliptique lisse.

PROPOSITION 2.1. — *Soit $\varphi : X \rightarrow Y$ une fibration en droites projectives munie d'une section σ et soit $\tilde{\alpha} \in A_1(X)$ une classe de 1-cycles. Notons T le fibré tangent relatif et ξ le diviseur donné par la section. Supposons que $\tilde{\alpha}$ vérifie $\tilde{\alpha} \cdot \xi \geq 0$ et $\tilde{\alpha} \cdot (T - \xi) > 0$.*

Si $\mathbf{Hom}_{\varphi_\tilde{\alpha}}(C, Y)$ est irréductible, alors $\mathbf{Hom}_{\tilde{\alpha}}(C, X)$ l'est et*

$$\dim(\mathbf{Hom}_{\tilde{\alpha}}(C, X)) = \dim(\mathbf{Hom}_{\varphi_*\tilde{\alpha}}(C, Y)) + \tilde{\alpha} \cdot T.$$

PREUVE. Notons E un fibré vectoriel de rang 2 sur Y tel que $X = \mathbb{P}_Y(E)$. La section σ est donnée par une surjection $E \rightarrow L$ où L est inversible. Notons N le fibré inversible noyau de cette surjection.

Nous étudions la fibre du morphisme $\mathbf{Hom}_{\tilde{\alpha}}(C, X) \rightarrow \mathbf{Hom}_{\varphi_*\tilde{\alpha}}(C, Y)$ au dessus de la flèche $f : C \rightarrow Y$. Un élément de la fibre est donné par un relèvement de f , c'est à dire par une surjection $f^*E \rightarrow M$ où M est inversible sur C avec $2 \deg(M) - \deg(f^*E) = \tilde{\alpha} \cdot T$. Un élément de la fibre est donc donné par un fibré inversible M de degré $d = \frac{\deg(f^*E) + \tilde{\alpha} \cdot T}{2}$ et par un élément surjectif de $\mathbb{P}\text{Hom}(f^*E, M)$. On a $\tilde{\alpha} \cdot \xi = \deg(M) - \deg(f^*N)$ et $\tilde{\alpha} \cdot (T - \xi) = \deg(M) - \deg(f^*L)$ et on doit distinguer deux cas.

Si $\tilde{\alpha} \cdot \xi > 0$ alors $\text{Hom}(f^*E, M)$ est la somme directe de $\text{Hom}(f^*N, M)$ et de $\text{Hom}(f^*L, M)$ et est de dimension constante (par rapport à f) égale à $\tilde{\alpha} \cdot T$ et le choix de M est libre. La fibre est donnée par le choix de M puis d'une surjection $f^*E \rightarrow M$ c'est-à-dire par un ouvert (donné par la condition de surjectivité) non vide de $\mathbb{P}\text{Hom}(f^*E, M) \times \text{Pic}_d(C)$. On a donc une fibration lisse de dimension $\tilde{\alpha} \cdot T$ au-dessus de $\mathbf{Hom}_{\varphi_*\tilde{\alpha}}(C, Y)$ d'où le résultat.

Si $\tilde{\alpha} \cdot \xi = 0$ alors si $M \not\cong f^*N$ on a $\text{Hom}(f^*N, M) = 0$ donc toute flèche $f^*E \rightarrow M$ se factorise par f^*L et on ne peut avoir de flèche surjective car $\deg(M) - \deg(f^*L) = \tilde{\alpha} \cdot (T - \xi) > 0$. Pour tout élément de la fibre, on doit donc avoir un isomorphisme $M \simeq f^*N$. Mais alors comme $\deg(M) - \deg(f^*L) = \tilde{\alpha} \cdot (T - \xi) > 0$, on a $E = M \oplus f^*L$ et $\text{Hom}(f^*E, M)$ est la somme directe

de $\text{Hom}(f^*N, M)$ et de $\text{Hom}(f^*L, M)$ et est de dimension contante (par rapport à f) égale à $\tilde{\alpha} \cdot T + 1$. La fibre est donnée par un ouvert non vide de $\mathbb{P}\text{Hom}(f^*E, M)$. On a donc une fibration lisse de dimension $\tilde{\alpha} \cdot T$ au-dessus de $\mathbf{Hom}_{\varphi_*\tilde{\alpha}}(C, Y)$. \square

REMARQUE 2.2. — On sait calculer les T_i en fonction des ξ_i (cf. [P2] prop. 2.11) :

$$T_i = \sum_{k=1}^i \langle \gamma_k^\vee, \gamma_i \rangle \xi_i$$

où les γ_i sont des racines positives définies à partir de la décomposition réduite (*) (cf. [P2]). On peut ici calculer tous les $\langle \gamma_k^\vee, \gamma_i \rangle$ et on a (le résultat est symétrique en k et i car $R = R^\vee$) :

	1	2	3	4	5	6	7	8	9	10
1	2	1	1	1	1	1	1	0	0	0
2		2	1	1	1	0	0	1	1	0
3			2	0	1	1	0	1	0	1
4				2	0	1	1	1	1	0
5					2	0	1	0	1	1
6						2	1	1	0	1
7							2	0	1	1
8								2	1	1
9									2	1
10										2

On peut lire l'écriture de T_i sur la $i^{\text{ème}}$ colonne. En particulier, on voit que si une classe $\tilde{\alpha}$ est strictement positive par rapport à ξ_1, ξ_2 et ξ_3 et positive par rapport à tous les ξ_i , alors elle est strictement positive par rapport à tous les fibrés $T_i - \xi_i$. Notons $A_1^+(\tilde{X})$ l'ensemble des classes $\tilde{\alpha}$ qui sont strictement positives par rapport à ξ_1, ξ_2 et ξ_3 et positives par rapport à tous les ξ_i .

2.2 Calcul de la dimension

La proposition précédente nous permet donc de montrer que pour tout $\alpha \in A_1^+(\tilde{X})$, le schéma $\mathbf{Hom}_\alpha(C, \tilde{X})$ est irréductible de dimension

$$\tilde{\alpha} \cdot \sum_{i=1}^{10} T_i = \tilde{\alpha} \cdot (8\xi_1 + 7\xi_2 + 6\xi_3 + 6\xi_4 + 5\xi_5 + 5\xi_6 + 4\xi_7 + 4\xi_8 + 3\xi_9 + 2\xi_{10}).$$

Le générateur ample du groupe de Picard de X se relève dans \tilde{X} en un diviseur $\hat{\xi}$ qui s'écrit

$$\hat{\xi} = \sum_{i=1}^{10} \xi_i.$$

Ainsi si $\tilde{\alpha}$ est une classe de $A_1^+(\tilde{X})$ telle que $\deg(\pi_*(\tilde{\alpha})) = \tilde{\alpha} \cdot \hat{\xi} = d$, alors le schéma $\mathbf{Hom}_{\tilde{\alpha}}(C, \tilde{X})$ est irréductible de dimension :

$$8d - \tilde{\alpha} \cdot \xi_2 - 2\tilde{\alpha} \cdot \xi_3 - 2\tilde{\alpha} \cdot \xi_4 - 3\tilde{\alpha} \cdot \xi_5 - 3\tilde{\alpha} \cdot \xi_6 - 4\tilde{\alpha} \cdot \xi_7 - 4\tilde{\alpha} \cdot \xi_8 - 5\tilde{\alpha} \cdot \xi_9 - 6\tilde{\alpha} \cdot \xi_{10}.$$

En particulier la dimension est maximale exactement lorsque $\tilde{\alpha} \cdot \xi_i = 0$ pour i différent de 1, 2 et 3 et $\tilde{\alpha} \cdot \xi_i = 1$ pour $i \in \{1; 2; 3\}$. La dimension est alors $8d - 3$.

3 Description de \tilde{X}_{W_\bullet} .

3.1 Configurations

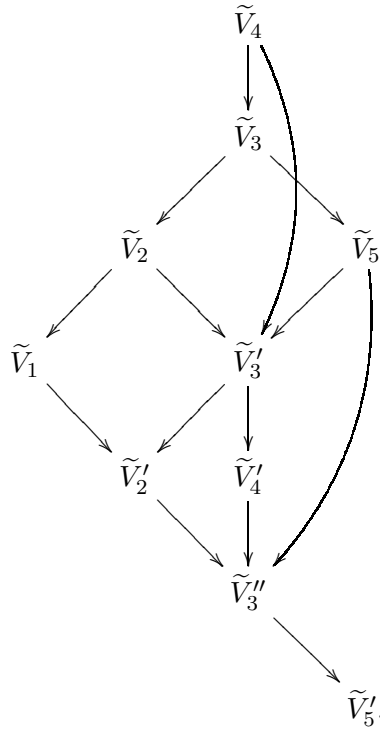
Nous décrivons ici la résolution de Bott-Samelson sous la forme d'une variété de configuration. Ceci a été réalisé par P. Magyar [Ma]. Nous avons ici

$$\tilde{X}_{W_\bullet} = \left\{ (\tilde{V}_1, \tilde{V}_2, \tilde{V}'_2, \tilde{V}_3, \tilde{V}'_3, \tilde{V}''_3, \tilde{V}_4, \tilde{V}'_4, \tilde{V}_5, \tilde{V}'_5) / (**) \right\}$$

où l'indice i pour $i \in \{1; 2; 3\}$ indique qu'on a un sous-espace totalement isotrope de dimension i et où l'indice 4 respectivement 5 indique qu'on a un sous-espace totalement isotrope maximal de type 2 ou 1 respectivement. Les conditions $(**)$ sont données par les 10 conditions :

$$\begin{aligned} \tilde{V}_4 \supset W_3, & \quad W_2 \subset \tilde{V}_3 \subset W_5 \cap \tilde{V}_4, & \quad W_1 \subset \tilde{V}_2 \subset \tilde{V}_3, & \quad \tilde{V}_3 \subset \tilde{V}_5, & \quad \tilde{V}_1 \subset \tilde{V}_2, \\ \tilde{V}_2 \subset \tilde{V}'_3 \subset \tilde{V}_5 \cap \tilde{V}_4, & \quad \tilde{V}_1 \subset \tilde{V}'_2 \subset \tilde{V}'_3, & \quad \tilde{V}'_3 \subset \tilde{V}'_4, & \quad \tilde{V}'_2 \subset \tilde{V}''_3 \subset \tilde{V}_5 \cap \tilde{V}'_4, & \quad \tilde{V}'_3 \subset \tilde{V}'_5. \end{aligned}$$

On peut en fait "visualiser" cette configuration sous la forme d'un carquois (voir [P3] pour plus de détails) où une flèche signifie qu'on a une inclusion dans le seul sens possible. On ne fait pas apparaître les points du drapeau de départ W_\bullet . Ainsi dans le cas présent le carquois est



Cette écriture sous forme de carquois n'apparaît pas explicitement dans [Ma]. Les liens entre décomposition réduite et carquois plongé dans le complexe de Coxeter sont mis en évidence par S. Zelikson [Ze] ou dans le modèle des galeries combinatoires de C.E. Contou-Carrère [CC], voir aussi S. Gaussent [Ga].

Les fibrations f_i sont données par les morphismes d'oubli en remontant les flèches du carquois : on oublie \tilde{V}'_5 puis \tilde{V}''_3 et ainsi de suite. Les sections sont alors données par les égalités

$\xi_1 : \tilde{V}_4 = W_4,$	$\xi_2 : \tilde{V}_3 = W_3,$	$\xi_3 : \tilde{V}_2 = W_2,$	$\xi_4 : \tilde{V}_5 = W_5,$	$\xi_5 : \tilde{V}_1 = W_1,$
$\xi_6 : \tilde{V}'_3 = \tilde{V}_3,$	$\xi_7 : \tilde{V}'_2 = \tilde{V}_2,$	$\xi_8 : \tilde{V}'_4 = \tilde{V}_4,$	$\xi_9 : \tilde{V}''_3 = \tilde{V}'_3,$	$\xi_{10} : \tilde{V}'_5 = \tilde{V}_5.$

Le morphisme de \tilde{X}_{W_\bullet} vers X est donné par la dernière projection c'est-à-dire par l'espace \tilde{V}'_5 . Si on a un point $V \in X$ en position générale par rapport au drapeau W_\bullet , alors on peut retrouver les espaces de la configuration précédente grâce aux formules :

$\tilde{V}'_5 = V$	$\tilde{V}_1 = V \cap W_5$	$\tilde{V}_2 = \tilde{V}_1 + W_1$	$\tilde{V}_3 = \tilde{V}_1 + W_2$	$\tilde{V}_4 \supset \tilde{V}_1 + W_3$
$\tilde{V}'_2 = V \cap \tilde{V}_4$	$\tilde{V}'_3 = \tilde{V}'_2 + \tilde{V}_2$	$\tilde{V}_5 \supset \tilde{V}'_2 + \tilde{V}_3$	$\tilde{V}''_3 = V \cap \tilde{V}_5$	$\tilde{V}'_4 \supset \tilde{V}'_3 + \tilde{V}''_3$

en remarquant que lorsqu'on a un sous-espace totalement isotrope maximal de type fixé, il est déterminé par un sous-espace totalement isotrope de dimension 4 qu'il contient.

En particulier, si un morphisme $f : C \rightarrow X$ rencontre l'ouvert des points en position générale par rapport à W_\bullet , on peut définir sur un ouvert de C et donc par prolongement sur C tout entière une section \tilde{f} de f dans \tilde{X}_{W_\bullet} donnée par les formules du tableau précédent.

3.2 Images par π

Il est facile de décrire l'image des diviseurs ξ_i dans X . On a

$$\pi(\xi_1) = \{V \in X / \dim(V \cap W_4) \geq 1\} \quad \pi(\xi_2) = \{V \in X / \dim(V \cap W_3) \geq 1\}$$

$$\pi(\xi_3) = \{V \in X / \dim(V \cap W_2) \geq 1\} \quad \pi(\xi_4) = \{V \in X / \dim(V \cap W_5) \geq 3\}$$

$$\pi(\xi_5) = \{V \in X / \dim(V \cap W_1) \geq 1\} \quad \pi(\xi_6) = \left\{ V \in X / \begin{array}{l} \dim(V \cap W_2) \geq 1 \\ \dim(V \cap W_5) \geq 3 \end{array} \right\}$$

$$\pi(\xi_7) = \left\{ V \in X / \begin{array}{l} \dim(V \cap W_1) \geq 1 \\ \dim(V \cap W_5) \geq 3 \end{array} \right\} \quad \pi(\xi_8) = \{V \in X / \dim(V \cap W_3) \geq 2\}$$

$$\pi(\xi_9) = \left\{ V \in X / \begin{array}{l} \dim(V \cap W_1) \geq 1 \\ \dim(V \cap W_3) \geq 2 \end{array} \right\} \quad \pi(\xi_{10}) = \{V \in X / \dim(V \cap W_2) \geq 2\}.$$

4 Étude d'un ouvert de X

Fixons un sous-espace totalement isotrope W_5 de dimension 5 et de type 1. Si $\text{Stab}(W_5)$ est le stabilisateur de W_5 dans G , les orbites de ce stabilisateur sont données par

$$\{V \in G/P / \dim(V \cap W_5) = 1\}, \quad \{V \in G/P / \dim(V \cap W_5) = 3\} \quad \text{et} \quad \{W_5\}.$$

La première orbite est dense la seconde de codimension 3 et la dernière de codimension 10. Notons U la première orbite qui est un ouvert dense de X et i l'inclusion. Le fait que $X \setminus U$ est de codimension 3 et la proposition 2 de [P1] (qui s'adapte au cas d'une courbe quelconque) montre que pour étudier l'irréductibilité de $\mathbf{Hom}_\alpha(C, X)$, il suffit d'étudier celle de $\mathbf{Hom}_{i^*\alpha}(C, U)$.

Sur l'ouvert U on a un morphisme naturel

$$p_{W_5} : U \longrightarrow \mathbb{P}(W_5^\vee)$$

$$V \longmapsto [V \cap W_5].$$

La proposition 5 de [P1] décrit ce morphisme comme un fibré vectoriel au dessus de $\mathbb{P}(W_5^\vee)$ et la description donnée dans cette proposition permet d'identifier ce fibré qui est $\Lambda^2 T_{\mathbb{P}(W_5^\vee)}(-1)$. Nous montrons maintenant la

PROPOSITION 4.1. — *Soit $f : C \rightarrow U$ un morphisme, si $p_{W_5} \circ f(C)_{red}$ l'image réduite de C par la composée $p_{W_5} \circ f$ n'est pas contenue dans un plan, alors on peut compléter W_5 en un drapeau complet W_\bullet tel que f se relève en \tilde{f} dans \tilde{X}_{W_\bullet} avec $\tilde{f}(C) \cdot \xi_i \geq 0$ pour tout i et*

$$\tilde{f}(C) \cdot \xi_1 > 0, \tilde{f}(C) \cdot \xi_2 > 0 \text{ et } \tilde{f}(C) \cdot \xi_3 > 0.$$

PREUVE. Soit $x_1 \in C$ tel que $p_{W_5}(x_1)$ est un point lisse de $p_{W_5}(C)_{red}$. Comme cette courbe n'est pas plane (et a fortiori pas contenue dans une droite), il existe un point $x_2 \in C$ tel que $p_{W_5}(x_2)$ est un point lisse et n'est pas contenu dans la tangente Θ_1 à $p_{W_5}(C)_{red}$ en $p_{W_5}(x_1)$. Par ailleurs, on peut quitte à changer x_1 choisir x_2 tel que la tangente Θ_2 à $p_{W_5}(C)_{red}$ en $p_{W_5}(x_2)$ ne passe pas par $p_{W_5}(x_1)$. Comme la courbe $p_{W_5}(C)_{red}$ n'est pas plane, il existe un point $x_3 \in C$ tel que $p_{W_5}(x_3)$ n'est contenu dans aucun des deux plans Π_1 et Π_2 respectivement engendrés par la droite Θ_i et le point $p_{W_5}(x_{3-i})$ pour $i \in \{1; 2\}$. De même, il existe un point $x_4 \in C$ tel que $p_{W_5}(x_4)$ n'est pas contenu dans le plan Π engendré par $p_{W_5}(x_1)$, $p_{W_5}(x_2)$ et $p_{W_5}(x_3)$ ni dans les plans Π_1 et Π_2 .

L'intersection du plan Π et des plans Π_1 et Π_2 est la droite $(p_{W_5}(x_1), p_{W_5}(x_2))$ qui rencontre les droites Θ_i aux points $p_{W_5}(x_i)$ pour $i \in \{1; 2\}$. Ainsi le plan Π ne contient pas Θ_i pour $i \in \{1; 2\}$ et nous pouvons choisir un sous-espace vectoriel U_4 de dimension 4 de W_5 contenant $p_{W_5}(x_1)$, $p_{W_5}(x_2)$ et $p_{W_5}(x_3)$ mais ne contenant pas $p_{W_5}(x_4)$ ni Θ_i pour $i \in \{1; 2\}$. Nous choisissons ensuite un sous-espace vectoriel W_3 de dimension 3 de U_4 contenant $p_{W_5}(x_1)$ et $p_{W_5}(x_2)$ mais ne contenant pas $p_{W_5}(x_3)$, un sous-espace vectoriel W_2 de dimension 2 de W_3 contenant $p_{W_5}(x_1)$ mais ne contenant pas $p_{W_5}(x_2)$ et enfin un sous-espace vectoriel W_1 de dimension 1 de W_2 ne contenant pas $p_{W_5}(x_1)$. Pour compléter le drapeau, nous prenons pour W_4 le sous-espace totalement isotrope de dimension 5 de type 2 contenant U_4 . Nous obtenons ainsi un drapeau W_\bullet . Il nous suffit pour terminer de monter le

LEMME 4.2. — *Le morphisme $f : C \rightarrow X$ se relève en \tilde{f} dans \tilde{X}_{W_\bullet} avec $\tilde{f}(C) \cdot \xi_i \geq 0$ pour tout i et*

$$\tilde{f}(C) \cdot \xi_1 > 0, \tilde{f}(C) \cdot \xi_2 > 0 \text{ et } \tilde{f}(C) \cdot \xi_3 > 0.$$

PREUVE. Pour montrer que f se relève en \tilde{f} dans \tilde{X}_{W_\bullet} avec $\tilde{f}(C) \cdot \xi_i \geq 0$ pour tout i , il suffit de montrer qu'un point de $f(C)$ est en position générale par rapport au drapeau W_\bullet . C'est le cas du point $f(x_4)$. En effet, on sait que l'intersection de $f(x_4)$ avec W_5 est $p_{W_5}(x_4)$ donc $f(x_4)$ ne peut rencontrer W_1 , W_2 , W_3 ni U_4 . Par ailleurs, si $f(x_4)$ rencontrait W_4 , cette intersection serait de dimension au moins 2 et rencontrerait donc U_4 , c'est impossible.

Il reste à montrer que $\tilde{f}(C)$ rencontre ξ_i en $f(x_{4-i})$ pour $i \in \{1; 2; 3\}$. Le même raisonnement que ci-dessus implique que $f(x_3)$ ne rencontre pas W_1 , W_2 ni W_3 mais rencontre W_5 en dimension 1 exactement et rencontre également W_4 . Ainsi $f(x_3)$ est contenu dans $\pi(\xi_1)$ mais dans aucun des $\pi(\xi_i)$ pour $i > 1$. Le point $\tilde{f}(x_3)$ est donc contenu dans ξ_1 .

De la même manière, on voit que $f(x_2)$ ne rencontre pas W_1 ni W_2 mais rencontre W_3 en dimension 1 exactement. Ainsi $f(x_2)$ est contenu dans $\pi(\xi_1)$ et $\pi(\xi_2)$ mais dans aucun des $\pi(\xi_i)$ pour $i > 2$. Par ailleurs on a une application \tilde{U}_4 définie sur un ouvert de C par

$$\tilde{U}_4(x) = p_{W_5}(x) + W_3$$

qui se prolonge sur C tout entière. L'image de x_2 est donnée par $\tilde{U}_4(x_2) = \Theta_2 + W_3 \neq U_4$. Ainsi l'espace $\tilde{V}_4(x_2)$ qui permet de définir $\tilde{f}(x_2)$ est différent de W_4 et $\tilde{f}(x_2) \notin \xi_1$. Le point $\tilde{f}(x_2)$ est donc contenu dans ξ_2 .

Enfin, on voit que $f(x_1)$ ne rencontre pas W_1 mais rencontre W_2 en dimension 1 exactement. Ainsi $f(x_1)$ est contenu dans $\pi(\xi_1)$, $\pi(\xi_2)$ et $\pi(\xi_3)$ mais dans aucun des $\pi(\xi_i)$ pour $i > 3$. Par ailleurs on a deux applications \tilde{V}_3 et \tilde{U}_4 définies sur un ouvert de C par

$$\tilde{V}_3(x) = p_{W_5}(x) + W_2 \quad \text{et} \quad \tilde{U}_4(x) = p_{W_5}(x) + W_3$$

qui se prolongent sur C tout entière. Les images de x_1 sont données par $\tilde{V}_3(x_1) = \Theta_1 + W_2 \neq W_3$ et $\tilde{U}_4(x_1) = \Theta_1 + W_3 \neq U_4$. Ainsi on a $\tilde{f}(x_1) \notin \xi_1$ et $\tilde{f}(x_1) \notin \xi_2$. Le point $\tilde{f}(x_1)$ est donc contenu dans ξ_3 . \square

REMARQUE 4.3. — *La construction précédente montre que pour un morphisme $f : C \rightarrow U$ donné tel que $p_{W_5} \circ f(C)_{red}$ n'est pas contenue dans un plan, les drapeaux qui complètent W_5 en un drapeau complet vérifiant les conditions de la proposition 4.1 forment une variété de dimension 7 : chois des points x_i pour $i \in \{1; 2; 3\}$ (dimension 3) puis chois des sous-espaces W_i pour $i \in \{1; 2; 3; 4\}$ (dimension 1 pour chaque W_i).*

Nous montrons maintenant que les morphismes qui ne satisfont pas les conditions de la proposition 4.1 ne peuvent former une composante irréductible du schéma des morphismes. Rappelons que le morphisme $p_{W_5} : U \rightarrow \mathbb{P}(W_5^\vee)$ est le morphisme de projection du fibré vectoriel $\Lambda^2 T_{\mathbb{P}(W_5^\vee)}(-1)$.

PROPOSITION 4.4. — *Soit $\alpha \in A_1(X)$ une classe de degré $d \geq 2$. Le fermé du schéma des morphismes $\mathbf{Hom}_{i^*\alpha}(C, U)$ formé des flèches f telles que la courbe $p_{W_5} \circ f(C)_{red}$ est contenue dans un plan est de dimension au plus $6d + 7$.*

Lorsque $d \geq 4$, ce fermé ne peut former une composante irréductible de $\mathbf{Hom}_{i^\alpha}(C, U)$.*

PREUVE. Nous considérons le morphisme $\mathbf{Hom}_{i^*\alpha}(C, U) \rightarrow \mathbf{Hom}_{p_{W_5*}i^*\alpha}(C, \mathbb{P}(W_5^\vee))$ induit par p_{W_5} . Pour définir p_{W_5*} nous considérons les classes de 1-cycles comme des éléments du dual du groupe de Picard et utilisons la transposée de $p_{W_5}^*$. L'image du fermé considéré dans $\mathbf{Hom}_{p_{W_5*}i^*\alpha}(C, \mathbb{P}(W_5^\vee))$ est irréductible de dimension $3d + 6$ et contient le fermé des courbes dont le support réduit est une droite qui est irréductible de dimension $2d + 6$.

La fibre du morphisme $\mathbf{Hom}_{i^*\alpha}(C, U) \rightarrow \mathbf{Hom}_{p_{W_5*}i^*\alpha}(C, \mathbb{P}(W_5^\vee))$ au dessus de $f : C \rightarrow \mathbb{P}(W_5^\vee)$ est donnée par $H^0(f^* \Lambda^2 T_{\mathbb{P}(W_5^\vee)}(-1))$. Pour un morphisme dont l'image est contenue dans un plan, on a

$$f^* T_{\mathbb{P}(W_5^\vee)}(-1) = \mathcal{O}_C^2 \oplus E$$

où E est un fibré de rang 2 et de degré d sur C engendré par ses sections (car $T_{\mathbb{P}(W_5^\vee)}(-1)$ l'est). De plus E a un facteur trivial si et seulement si l'image de f est contenue dans une droite. Ainsi on a

$$f^* \Lambda^2 T_{\mathbb{P}(W_5^\vee)}(-1) = \mathcal{O}_C \oplus \mathcal{O}_C^2 \otimes E \oplus \Lambda^2 E.$$

Si E n'a pas de facteur trivial c'est-à-dire lorsque l'image de f n'est pas contenue dans une droite, alors la dimension du groupe $H^0(f^* \Lambda^2 T_{\mathbb{P}(W_5^\vee)}(-1))$ est $3d + 1$. Si E a un facteur trivial (nécessairement unique) c'est-à-dire lorsque l'image de f est contenue dans une droite, alors la dimension du groupe $H^0(f^* \Lambda^2 T_{\mathbb{P}(W_5^\vee)}(-1))$ est $3d + 3$. Ainsi le fermé recherché a une dimension au plus égale à $\max(6d + 7; 5d + 9) = 6d + 7$ pour $d \geq 2$.

Enfin la dimension d'une composante irréductible de $\mathbf{Hom}_{i^* \alpha}(C, U)$ est au moins $8d$ qui est strictement supérieur à $6d + 7$ dès que $d \geq 4$ ce qui prouve la dernière assertion. \square

5 Irréductibilité

5.1 L'incidence

Soit B un sous-groupe de Borel de G , la variété des drapeaux complets est G/B . Les drapeaux completant W_5 en un drapeau complet forment la variété $\text{Stab}(W_5)/B$ qui est de dimension 10. Nous avons vu qu'à chaque drapeau complet W_\bullet correspond une résolution de Bott-Samelson $\tilde{X}_{W_\bullet} \rightarrow X$. Considérons l'incidence suivante :

$$\begin{array}{ccc} I & \xrightarrow{p} & \mathbf{Hom}_{i^* \alpha}(C, U) \\ q \downarrow & & \\ \text{Stab}(W_5)/B & & \end{array}$$

où I est formée des couples $(W_\bullet, f) \in \text{Stab}(W_5)/B \times \mathbf{Hom}_{i^* \alpha}(C, U)$ vérifiant les conclusions de la proposition 4.1. Nous avons vu à la proposition 4.4 que la flèche $p : I \rightarrow \mathbf{Hom}_{i^* \alpha}(C, U)$ est dominante dès que $d \geq 4$. Rappelons que nous avons vu à la remarque 4.3 que la fibre de p est de dimension 7.

5.2 La fibre de q

Fixons W_\bullet un drapeau complet. La fibre de q au dessus de W_\bullet est formé des morphismes $f \in \mathbf{Hom}_{i^* \alpha}(C, U)$ qui se relèvent en \tilde{f} dans \tilde{X}_{W_\bullet} et tels que $\tilde{f}(C)$ rencontre ξ_1, ξ_2 et ξ_3 . On a donc une flèche surjective

$$\coprod_{\tilde{\alpha} \in A_1^+(\tilde{X}), \pi_*(\tilde{\alpha}) = \alpha} \mathbf{Hom}_{\tilde{\alpha}}(C, \tilde{X}_{W_\bullet}) \rightarrow q^{-1}(W_\bullet).$$

Nous pouvons faire cette construction en famille au dessus de $\text{Stab}(W_5)/B$.

Pour tout élément $\tilde{\alpha} \in A_1^+(\tilde{X})$ tel que la dimension de $\mathbf{Hom}_{\tilde{\alpha}}(C, \tilde{X}_{W_\bullet})$ est strictement inférieure à $8d - 3$ (c'est-à-dire, d'après le paragraphe 2.2 lorsque $\tilde{\alpha}$ ne vérifie pas $\tilde{\alpha} \cdot \xi_i = 0$ pour i différent de 1, 2 et 3 et $\tilde{\alpha} \cdot \xi_i = 1$ pour $i \in \{1; 2; 3\}$) la famille de morphismes

$\mathbf{Hom}_{\tilde{\alpha}}(C, \tilde{X}_{W_{\bullet}})$ lorsque W_{\bullet} varie est de dimension strictement inférieure à $8d + 7$ et son image dans $\mathbf{Hom}_{i^*\alpha}(C, U)$ est strictement inférieure à $8d$. Elle ne peut former une composante irréductible de $\mathbf{Hom}_{i^*\alpha}(C, U)$.

Ainsi si $\tilde{\alpha}_0$ est l'élément de $A_1^+(\tilde{X})$ tel que $\pi_*(\tilde{\alpha}) = \alpha$ et $\tilde{\alpha} \cdot \xi_i = 0$ pour i différent de 1, 2 et 3 et $\tilde{\alpha} \cdot \xi_i = 1$ pour $i \in \{1; 2; 3\}$, la famille de morphismes $\mathbf{Hom}_{\tilde{\alpha}_0}(C, \tilde{X}_{W_{\bullet}})$ lorsque W_{\bullet} varie s'envoie de manière dominante sur $\mathbf{Hom}_{i^*\alpha}(C, U)$. Comme cette famille est irréductible grâce à la proposition 2.1 on a l'irréductibilité de $\mathbf{Hom}_{i^*\alpha}(C, U)$ puis grâce à la proposition 2 de [P1] :

THÉORÈME 5.1. — *Pour $\alpha \in A_1(X)$ tel que $d = \deg(\alpha) \geq 4$, le schéma $\mathbf{Hom}_{\alpha}(C, X)$ est irréductible de dimension $8d$.*

Références

- [Bo] *Nicolas Bourbaki* : Éléments de mathématique. Fasc. XXXIV. Groupes et algèbres de Lie. Chapitre IV : Groupes de Coxeter et systèmes de Tits. Chapitre V : Groupes engendrés par des réflexions. Chapitre VI : systèmes de racines. Actualités Scientifiques et Industrielles, No. 1337 Hermann, Paris 1968.
- [CC] *Carlos Enrique Contou-Carrere* : Géométrie des groupes semi-simples, résolutions équivariantes et lieu singulier de leurs variétés de Schubert. Thèse de l'université des sciences et techniques du languedoc (1983).
- [De] *Michel Demazure* : Désingularisation des variétés de Schubert généralisées. Collection of articles dedicated to Henri Cartan on the occasion of his 70th birthday, I. Ann. Sci. École Norm. Sup. (4) 7 (1974), 53–88.
- [Ga] *Stéphane Gaussent* : The fibre of the Bott-Samelson resolution. Indag. Math. (N.S.) 12 (2001), no. 4, 453–468.
- [Ma] *Peter Magyar* : Schubert polynomials and Bott-Samelson varieties. Comment. Math. Helv. 73 (1998), no. 4, 603–636.
- [P1] *Nicolas Perrin* : Courbes rationnelles sur les variétés homogènes. Annales de l'Institut Fourier, 52, no.1 (2002), pp 105-132.
- [P2] *Nicolas Perrin* : Rational curves on minuscule Schubert varieties, prépublication math.AG/0407123.
- [P3] *Nicolas Perrin* : Carquois et variétés de Bott-Samelson, en préparation.
- [Ze] *Shmuel Zelikson* : Auslander-Reiten quivers and the Coxeter complex. Prépublication math.QA/0208098 (2002).

INSTITUT DE MATHÉMATIQUES DE JUSSIEU
 175 RUE DU CHEVALERET
 75013 PARIS, FRANCE.
 email : nperrin@math.jussieu.fr